

مطالعه تولید آنتروپی و ارزیابی خواص آماری انتقال حرارت در جریان مغشوش*

فرهاد وحیدی‌نیا^(۱) محدثه میری^(۲) بهروز کشته‌گر^(۳)

چکیده در این مقاله، اثر قطر نانو ذرات در انتقال حرارت جابه‌جایی اجباری جریان مغشوش سیال نانوی آب/اکسید آلومینیوم درون یک لوله دایره‌ای شکل تحت شار حرارتی یکنواخت در دیواره با استفاده از مدل مخلوط دوفازی به صورت عددی بررسی و تحلیل آماری شده است. کسر حجمی نانو ذرات ۱، ۳ و ۵ درصد، عدد رینولدز 2.5×10^3 ، 5×10^4 و 7.5×10^3 و تغییرات قطر نانو ذرات نیز در محدوده ۲۰ تا ۱۰۰ نانومتر فرض شده است. در تحلیل آماری از توابع توزیع احتمال پیوسته نظیر؛ گاما، نرمال، لوگ نرمال، گامبل، وایبول و فسچر استفاده گردیده است. پس از بررسی نتایج مشخص شد که با افزایش قطر ذرات نانو عدد ناسلت کاهش یافته است و با توجه به تغییرات قطر نانو ذرات از تابع توزیع احتمال فسچر پیروی نموده است.

واژه‌های کلیدی نانو سیال؛ انتقال حرارت جابه‌جایی؛ قطر ذرات نانو؛ عدد ناسلت؛ تابع توزیع احتمال؛ خواص آماری.

Study of Entropy Generation and Evaluation of Statistical Heat Transfer Properties in Turbulent Flow

F. Vahidina M. Miri B. Keshtegar

Abstract In this paper, effect of the nanoparticles diameter on the forced convection heat transfer of turbulent flow of Al_2O_3 -water nanofluids in a circular tube under constant heat flux on the wall using two phase mixture model is numerically investigated and statistically analysed. The Volume fraction of nanoparticles are %1, %3 and %5, the Reynolds numbers are 2.5×10^3 , 5×10^4 and 7.5×10^3 and the variation of diameter of nanoparticles is assumed in the range of 20- 100nm. In the statistical analysis, from the continuous probability distribution functions such as Gamma, Normal, Lognormal, Gumbel, Weibull and Frechet are used. After reviewing the results, it was found that by increasing the diameter of nanoparticles, the Nusselt number is reduced and due to changes in the nanoparticles diameter has followed the Frechet probability distribution function.

Key Words Nanofluid; Convection heat transfer; nanoparticles diameter; Nusselt number; Probability density function; Statistical properties.

* تاریخ دریافت مقاله ۹۵/۷/۲۵ و تاریخ پذیرش آن ۹۶/۱/۲۶ می‌باشد. DOI: 10.22067/fum-mech.v29i1.59586

(۱) مربی، مهندسی مکانیک، دانشگاه زابل.

(۲) مربی، مهندسی مکانیک، دانشگاه زابل.

(۳) نویسنده مسئول: استادیار، مهندسی عمران، دانشگاه زابل. Bkeshtegar@uoz.ac.ir

مقدمه

استفاده از نانوسیال در سیستم‌های انتقال حرارت به جای سیالات رایج مثل آب و روغن هدف بزرگی است که بسیاری از دانشمندان این حوزه در پی تحقق آن هستند. اگر مشکل ته‌نشینی و کلوخه‌شدن نانوسیال مرتفع گردد و استفاده از آن به‌طور گسترده صورت گیرد، انقلابی در صنایع وابسته به انتقال حرارت رخ خواهد داد. دانشمندان زیادی در زمینه نانوسیال مطالعه کرده‌اند و اکثراً بر این باورند که استفاده از ذرات نانوی فلزی و نافلزی معلق در سیال پایه موجب بهبود پارامترهای ترموفیزیکی نانوسیال می‌شود و در نتیجه کارایی سیستم‌های انتقال حرارت افزایش می‌یابد. در اکثر این مطالعات استفاده از نانوذرات CuO ، TiO_2 ، Al_2O_3 و SiO_2 بیشتر به چشم می‌خورد [1, 2]. مطالعات انتقال حرارت با استفاده از نانوسیال در کانال‌ها با سطح مقطع‌های مختلف و شرایط مرزی متفاوت انجام شده است [3, 4]. در این مطالعات مشاهده می‌شود که اثر متغیرهای مختلف نانوسیال از قبیل کسر حجمی و قطر ذرات نانو بر روی پارامترهای حرارتی و هیدرودینامیکی جریان شامل عدد ناسلت، ضریب انتقال حرارت جابه‌جایی، تنش برشی و ضریب اصطکاک سطحی بررسی می‌گردد. از طرفی در یک کسر حجمی ثابت یا قطر نانوذرات ثابتی اثر تغییرات عدد رینولدز یا تغییرات عدد گراشهف بر روی پارامترهای حرارتی و هیدرودینامیکی مطالعه شده است [5, 6]. یکی از مهم‌ترین پارامترهای مورد مطالعه در مبحث نانوسیال بررسی اثر قطر نانوذرات در انتقال حرارت جریان می‌باشد. باتوجه‌به این موضوع که هرچه قطر ذرات کوچک‌تر باشد میزان معلق بودن آنها در سیال پایه بیشتر است [7] مطالعه در مورد اثر این متغیر بر پارامترهای جریان در مقالات مختلف انجام شده است. میرمعصومی و بهزادمهر [8] اثر قطر متوسط نانوذرات را در انتقال حرارت جابه‌جایی ترکیبی جریان

آرام کاملاً توسعه یافته با استفاده از مدل مخلوط دوفازی در یک لوله دایره‌ای شکل به صورت عددی بررسی نمودند. آنها دریافتند که با کاهش قطر نانوذرات، ضریب انتقال حرارت جابه‌جایی به‌طور قابل ملاحظه‌ای افزایش می‌یابد. اما تغییرات ضریب اصطکاک سطحی قابل ملاحظه نیست. اکبری‌نیا و لاهور [9] اثر قطر متوسط نانوذرات را در انتقال حرارت جابه‌جایی ترکیبی جریان آرام با استفاده از مدل مخلوط دوفازی در یک لوله منحنی شکل به صورت عددی بررسی نمودند. آنها نتیجه گرفتند که با افزایش قطر نانوذرات، عدد ناسلت کاهش می‌یابد. آنوپ و همکاران [10] به‌طور تجربی به بررسی انتقال حرارت جریان آرام سیال نانو در ناحیه در حال توسعه در یک لوله با شار حرارتی ثابت در دیواره پرداختند. آنها مشاهده کردند که ضریب انتقال حرارت جابه‌جایی نانوسیال بزرگ‌تر از سیال پایه است و با افزایش قطر نانوذرات کاهش می‌یابد. فانی و همکاران [11] اثر اندازه نانوذرات را در یک کانال دوزنقه‌ای شکل بررسی کردند. آنها دریافتند که با افزایش قطر نانوذرات، انتقال حرارت کاهش می‌یابد. مختاری و همکاران [12] اثر قطر متوسط نانوذرات را در انتقال حرارت جابه‌جایی ترکیبی جریان آرام با استفاده از مدل دوفازی مخلوط در یک حلقوی بررسی کردند. آنها مشاهده کردند که با افزایش قطر نانوذرات، عدد ناسلت هم در دیواره بالایی و هم در دیواره پایینی کاهش می‌یابد.

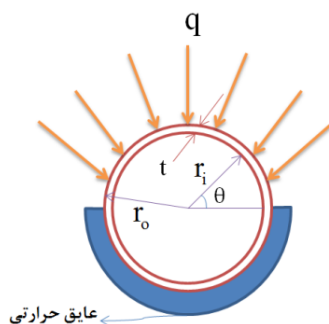
انتقال حرارت جابه‌جایی با استفاده از نانوسیال از جمله مباحثی است که محققان روابط زیادی برای نتیجه تحقیقاتشان ارائه کرده‌اند که از جمله مهم‌ترین آنها رابطه عدد ناسلت است که بر حسب متغیرهایی نظیر عدد رینولدز، عدد پراتل و کسر حجمی نانوذرات استخراج شده است. شاید بتوان مهم‌ترین رابطه برای عدد ناسلت در نانو سیال را رابطه پاک و چو [13] نامید. عباسیان ارانی و اماتی [14] انتقال حرارت

نانوذرات مشخص شده است.

در این مقاله، ابتدا جریان نانوسیال داخل یک لوله دایره‌ای شکل با استفاده از نرم‌افزار فلوئنت (Fluent) شبیه‌سازی عددی شده و سپس داده‌های عدد ناسلت در نقاط مختلف لوله محاسبه گردیده است. در مرحله بعد بر روی داده‌های عدد ناسلت تحلیل آماری با استفاده از نرم‌افزار آماری ایزی فیت (Easy Fit) صورت گرفته است. به منظور تعیین پارامترهای توابع توزیع احتمال مانند گاما، نرمال، لوگ نرمال، گامبل، وایبول و فسچر از روش برازش حداکثر درست‌نمایی استفاده گردیده که بهترین توابع توزیع با استفاده از آماره مربع کای انتخاب شده است. پارامترهای هر تابع توزیع و خواص آماری داده‌ها مانند گشتاور اول (میانگین)، گشتاور دوم (انحراف معیار)، گشتاور سوم (چولگی) و گشتاور چهارم (برجستگی) در دو ناحیه توسعه‌یافته و در حال توسعه جریان مقایسه شده است.

نحوه مدل‌سازی جریان نانوسیال در داخل لوله

هندسه لوله مورد بررسی در شکل (۱) نشان داده شده که یک لوله با سطح مقطع دایره‌ای از جنس مس، به طول L (یک متر) و بشعاع داخلی r_i (۱۰ میلی‌متر)، شعاع خارجی r_o (۱۱ میلی‌متر) و ضخامت t (۱ میلی‌متر) می‌باشد.



شکل ۱ طرحواره هندسه لوله مورد بررسی

جابه‌جایی جریان مغشوش نانوسیال را در یک مبدل حرارتی دو لوله‌ای به صورت آزمایشگاهی بررسی کردند و دریافتند که عدد ناسلت نانوسیال از سیال پایه بیشتر است. سجادی و کاظمی [15] رابطه‌ای برای عدد ناسلت برحسب عدد رینولدز و عدد پرانتل در جریان مغشوش نانوسیال در یک لوله دایره‌ای شکل ارائه کردند. بهشتی و همکاران [16] انتقال حرارت جابه‌جایی جریان مغشوش دو نانوسیال آلومینا و تیتانیا را در یک کانال حلقوی بررسی کردند و رابطه‌ای برای عدد ناسلت به دست آوردند.

در این مقاله دو هدف مهم براساس تغییر قطر نانوذرات دنبال گردیده است. یکی از این اهداف بررسی تولید آنتروپی است و هدف مهم‌تر بررسی و تحلیل آماری عدد ناسلت می‌باشد. همان‌طور که از مطالعات فوق مشخص است در به دست آوردن روابط عدد ناسلت، موضوع آماری مطالعه نشده است. بحث آماری و استفاده از پارامترهای آماری در مبحث نانوسیال موضوعی است که کمتر به آن توجه شده است. وحیدی‌نیا و همکاران [17] اثر کسر حجمی نانوذرات را در انتقال حرارت جابه‌جایی جریان مغشوش به صورت آماری بررسی نمودند. آنها نتیجه گرفتند که با افزایش کسر حجمی ذرات نانو ضریب انتقال حرارت جابه‌جایی افزایش می‌یابد و تابع توزیع احتمال آن برحسب متغیر کسر حجمی نانوذرات گمبل ماکزیمم می‌باشد. آنها اثر قطر نانوذرات را بر خواص آماری جریان مغشوش نانوسیال بررسی ننموده‌اند. بنابراین در مقاله حاضر، اثر قطر ذرات نانو در انتقال حرارت جابه‌جایی اجباری جریان مغشوش سیال نانو در یک لوله دایره‌ای شکل با استفاده از مدل مخلوط دوفازی به صورت عددی مطالعه و از دیدگاه آماری نیز تجزیه و تحلیل شده است. بر همین اساس تابع توزیع احتمال عدد ناسلت برحسب متغیر قطر ذرات نانو با ثابت ماندن دو متغیر عدد رینولدز و کسر حجمی

برشی مغشوش است که براساس روابط زیر قابل محاسبه هستند.

$$\tau = \mu_{eff} \nabla V_m \quad (6)$$

$$\tau_t = \sum_{k=1}^n \phi_k \rho_k \overline{v_k v_k} \quad (7)$$

سرعت نسبی (V_{pf})، سرعت نسبی فاز دوم (ذرات، p) به فاز اول (سیال پایه، f) تعریف می‌گردد [18]:

$$V_{pf} = V_p - V_f \quad (8)$$

مطابق با روابط فوق می‌توان ارتباط بین سرعت سوق و سرعت نسبی را به صورت زیر محاسبه نمود [18]:

$$V_{dr,f} = V_f - \sum_{k=1}^n \frac{\phi_k \rho_k}{\rho_m} V_{fk} \quad (9)$$

و همچنین می‌توان سرعت نسبی بین دو فاز را از رابطه ارائه شده توسط مانین (Manninen) محاسبه کرد [19].

$$V_{pf} = \frac{\rho_p d_p^2}{18 \mu_f f_{drag}} \frac{(\rho_p - \rho_m)}{\rho_p} a \quad (10)$$

که در آن ρ_p دانسیته ذرات نانو، d_p قطر ذرات نانو و μ_f ویسکوزیته سیال پایه (آب) و f_{drag} به صورت رابطه زیر قابل محاسبه است [20]:

$$f_{drag} = \begin{cases} 1 + 0.15 Re_p^{0.687}, & Re_p \leq 1000 \\ 0.0183 Re_p, & Re_p \geq 1000 \end{cases} \quad (11)$$

شتاب a در معادله (۱۰) و Re_p در معادله (۱۱) به صورت زیر تعریف می‌شوند.

$$a = g - (V_m \cdot \nabla) V_m \quad (12)$$

نیمه بالایی لوله دارای شار حرارتی $q (10^4 \times 44)$ وات بر متر (ع) و نیمه پایینی لوله عایق می‌باشد. جریان آشفته نانوسیال آب/اکسید آلومینیوم با کسر حجمی ۳ درصد ذرات نانو با دمای ورودی $T_0 (293 \text{ K})$ و سرعت ورودی V_0 وارد لوله می‌شود.

معادلات حاکم و خواص فیزیکی نانوسیال

معادله پیوستگی برای یک جریان چندفازی به صورت زیر بیان می‌گردد [18]:

$$\nabla \cdot (\rho_m V_m) = 0 \quad (1)$$

که در آن V_m سرعت متوسط جرمی مخلوط و ρ_m دانسیته مخلوط است [9].

$$V_m = \sum_{k=1}^n \phi_k \rho_k V_k / \rho_m \quad (2)$$

$$\rho_m = \sum_{k=1}^n \phi_k \rho_k \quad (3)$$

معادله منتم جریان چندفازی در یک لوله به صورت زیر می‌باشد [18]:

$$\nabla \cdot (\rho_m V_m V_m) = -\nabla P_m + \nabla (\tau - \tau_t) + \nabla \cdot \left(\sum_{k=1}^n \phi_k \rho_k V_{dr,k} V_{dr,k} \right) \quad (4)$$

در معادله بالا n تعداد فازها و P فشار مخلوط است. $V_{dr,k}$ سرعت سوق است که برای فاز k ام به صورت زیر تعریف می‌شود [18]:

$$V_{dr,k} = V_k - V_m \quad (5)$$

همچنین در رابطه (۲) تنش برشی و تنش

که در آن d_f و d_p به ترتیب قطر ذرات سیال پایه (۰/۲۷۵nm) و قطر ذرات نانو (۱۰۰nm - ۲۰ nm) می‌باشد. همچنین λ_f و λ_p به ترتیب قابلیت هدایتی سیال پایه (۰/۶۰۲۸W/mK) و قابلیت هدایتی ذرات نانو (۳۵W/mK) می‌باشد که از مرجع [12] اقتباس شده است. پارامترهای بی‌بعد Pr (عدد پراتل Prandtl) و Re (عدد رینولدز (Reynolds number)) در معادله (۱۷) به صورت زیر تعریف می‌شوند.

$$Pr = \frac{\mu_f}{\rho_f \alpha_f} \quad (18)$$

$$Re = \frac{\rho_f K_b T}{3\pi\mu^2 l_{bf}} \quad (19)$$

که l_{bf} طول مسیر آزاد نامیده می‌شود و مقدار آن برای آب در دمای آزمایشگاهی (۲۵°C) برابر (۰/۱۷nm) است. K_b ثابت بولتزمن است و برابر است با ($K_b = 1.3807 \times 10^{-23}$ μ)، μ لزجت سیال است که به صورت زیر تعریف می‌شود:

$$\mu = A \times 10^{\frac{B}{T-C}}, C = 140, B = 247, A = 2.414e-5 \quad (20)$$

ویسکوزیته مؤثر سیال نانو به صورت زیر محاسبه می‌گردد [23]:

$$\mu_{eff} = \mu_f + \frac{\rho_p V_B d_p^2}{72C\delta} \quad (21)$$

که در این رابطه V_B سرعت برونی و δ ضخامت لایه مرزی براساس روابط زیر به دست می‌آیند [23].

$$V_B = \frac{1}{d_p} \sqrt{\frac{18K_b T}{\pi\rho_p d_p}} \quad (22)$$

$$\delta = \sqrt[3]{\frac{\pi}{6\phi} d_p} \quad (23)$$

$$Re_p = V_m d_p / \nu_{nf} \quad (13)$$

معادله انرژی در حل جریان مغشوش برای یک جریان چند فازی به صورت زیر تعریف شده است [18]:

$$\nabla \cdot \sum_{k=1}^n \phi_k V_k (\rho_k H_k + P) = \nabla \cdot (\lambda_{eff} \nabla T - c_p \rho_m \bar{v} T) \quad (14)$$

جریان آشفته توسط مدل دو معادله ای $k-\epsilon$ یکی برای انرژی جنبشی آشفته و دیگری برای نرخ اتلافات مدل سازی شده است [21]. در جریان داخلی نانوسیال با شرایط مرزی شار ثابت دانشمندانی زیادی از جمله بایانکو و همکاران [18] از این مدل استفاده نموده‌اند. دانسیته مؤثر نانوسیال از رابطه زیر محاسبه می‌شود:

$$\rho_{eff} = (1-\phi)\rho_f + \phi\rho_p \quad (15)$$

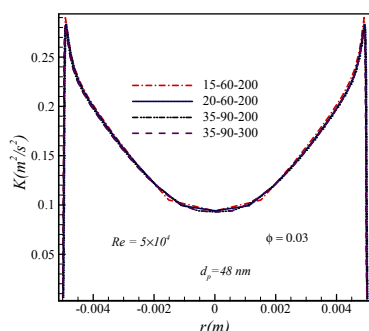
ظرفیت گرمایی ویژه مؤثر نانوسیال براساس معادله (۱۶) قابل محاسبه است [22]:

$$(C_p)_{eff} = \left[(1-\phi)(\rho C_p)_f + \phi(\rho C_p)_p \right] / \rho_m \quad (16)$$

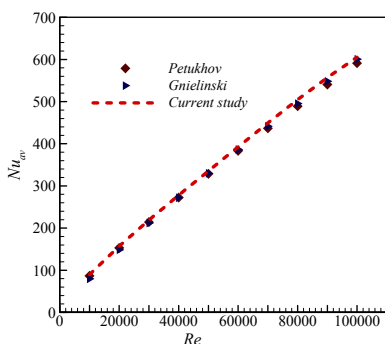
که در آن $(C_p)_p$ و $(C_p)_f$ به ترتیب ظرفیت گرمایی ویژه سیال پایه (۴۱۸۲) و ذرات نانو (۸۸۰) برحسب (J/kgK) می‌باشد که از مرجع [12] اقتباس شده است.

ضریب هدایت حرارتی مؤثر نانوسیال به صورت زیر پیشنهاد شده است [23].

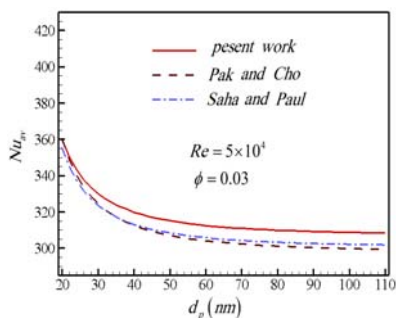
$$\lambda_{eff} / \lambda_f = 1 + 64.7 \times \phi^{0.746} (d_f / d_p)^{0.369} \times (\lambda_p / \lambda_f)^{0.746} \times Pr^{.9955} \times Re^{1.2321} \quad (17)$$



شکل ۲ پروفیل انرژی جنبشی آشفته‌گی در راستای شعاعی در انتهای لوله به منظور انتخاب بهترین شبکه



شکل ۳ تغییرات عدد ناسلت متوسط برای اعداد رینولدز مختلف در طول لوله و مقایسه آن با روابط گنیلینسکی [24] و پتوخوف [25]



شکل ۴ مقایسه عدد ناسلت متوسط کار حاضر در قطره‌های مختلف نانوسیال با روابط پاک و چو [13] و ساها و پائول [26]

همان‌طور که در این شکل مشهود است نمودار عدد ناسلت کار حاضر با نمودار پاک و چو [13] و همچنین نمودار ساها و پائول [26] هم‌خوانی دارد و خطای متوسط حاصل بین کار حاضر و رابطه پاک و

$$C = \mu_f^{-1} [(c_1 d_p + c_2) \phi + (c_3 d_p + c_4)] \quad (24)$$

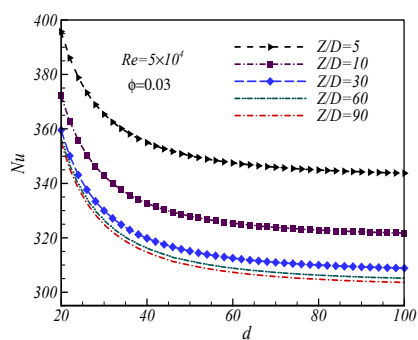
که در آن: $C_2 = -0.000002721$, $C_1 = -0.000001133$
 $C_4 = -0.000000393$ و $C_3 = -0.00000009$

حل عددی و اعتبارسنجی

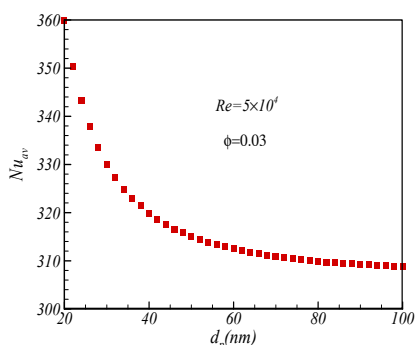
در این مطالعه برای گسسته‌سازی معادلات حاکم از روش حجم محدود و طرح اختلاف بالادست مرتبه دوم استفاده شده است. ارتباط بین فشار و سرعت با استفاده از الگوریتم SIMPLEC برقرار شده است. این الگوریتم برای جریان‌های تراکم‌ناپذیر درون لوله، مناسب‌تر است [18]. قطر ذرات نانو جامد در محدوده ۲۰ تا ۱۰۰ نانومتر، کسر حجمی برابر ۱، ۲، ۳ درصد و عدد رینولدز برابر با 25×10^3 ، 5×10^4 و 57×10^3 در نظر گرفته شده است. برای انتخاب بهترین شبکه‌بندی در سه جهت شعاعی، محیطی و طول لوله تست گره انجام شده که نتیجه آن در شکل (۲) آورده شده است. پس از قیاس شبکه‌های مختلف بهترین مش‌بندی برابر ۲۰۰-۹۰-۳۵ انتخاب شده است.

در شکل (۳) مقایسه عدد ناسلت متوسط مطالعه حاضر با کارهای گذشتگان به منظور اعتبارسنجی نتایج شبیه‌سازی انجام گرفته است. در این شکل عدد ناسلت متوسط مطالعه حاضر با دو رابطه معروف گنیلینسکی [24] و پتوخوف [25] برای سیال پایه صورت گرفته است. همان‌طور که مشاهده می‌شود خطای حاصل بسیار ناچیز می‌باشد.

از طرفی دیگر مقایسه نتایج کار حاضر با دو رابطه ارائه‌شده توسط پاک و چو [13] و ساها و پائول [26] برای نانوسیال در شکل (۴) ارائه شده است. در شکل (۴) تغییرات عدد ناسلت متوسط برحسب قطر ذرات نانو رسم شده است.

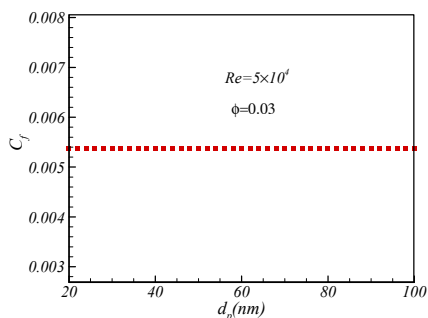


شکل ۵ تغییرات عدد ناسلت در مقاطع مختلف لوله برحسب قطر ذرات نانو



شکل ۶ تغییرات عدد ناسلت متوسط برحسب قطر ذرات نانو

پارامتر بعدی مورد بررسی در انتقال حرارت جابه‌جایی اجباری مغشوش نانو سیال، ضریب اصطکاک سطحی دیواره می‌باشد. در شکل (۷) این پارامتر برحسب قطرهای مختلف ذرات نانو ترسیم شده است. همان‌طور که در این شکل مشاهده می‌گردد با افزایش قطر ذرات نانو ضریب اصطکاک سطحی تغییر زیادی ندارد و تقریباً ثابت می‌ماند.



شکل ۷ ضریب اصطکاک سطحی دیواره برحسب قطر ذرات نانو

چو برابر ۲/۵۱ درصد و رابطه ساها و پائول برابر ۲/۱۱ درصد می‌باشد.

نتایج و بحث‌ها

در این مطالعه، انتقال حرارت جابه‌جایی اجباری جریان مغشوش سیال نانو آب/اکسید آلومینیوم درون یک لوله دایره‌ای شکل با استفاده از روش دوفازی مخلوط به صورت عددی بررسی و سپس مهم‌ترین پارامتر انتقال حرارت یعنی عدد ناسلت تحلیل آماری شده است. به منظور تولید داده برای بررسی خواص آماری پارامترهای انتقال حرارت جابه‌جایی اجباری جریان مغشوش نانو سیال از ۴۱ نمونه استفاده گردیده که داده‌های تولید شده برای قطر ذرات نانو در محدوده ۲۰ تا ۱۰۰ نانومتر انتخاب گردیده است. نتایج حاصل از تغییر عدد ناسلت در طول لوله نسبت به افزایش قطر ذرات نانو در شکل (۵) نشان داده شده است. همان‌طور که مشخص می‌شود عدد ناسلت برای تمامی نمونه‌ها در ابتدای لوله در بخش ورودی زیاد است و سپس کاهش می‌یابد. همان‌طور که مشاهده می‌شود عدد ناسلت به ازای قطرهای بزرگ نانو ذرات تقریباً ثابت می‌ماند که آن به دلیل توسعه یافتگی جریان می‌باشد. از طرفی دیگر با افزایش قطر نانو ذرات عدد ناسلت در تمامی مقاطع کاهش می‌یابد. بنابراین هر چه ذرات ریزتر باشند هم انتقال حرارت بهتری حاصل می‌گردد و هم میزان ته‌نشینی آنها کمتر خواهد بود. همچنین در شکل (۶) تغییرات عدد ناسلت متوسط برحسب قطر ذرات نانو ترسیم شده است. همان‌طور که در شکل (۶) مشاهده می‌گردد تغییرات عدد ناسلت متوسط در قطرهای کمتر نانو ذرات زیاد است و با افزایش قطر نانو ذرات این تغییرات اندک و ناچیز می‌گردد.

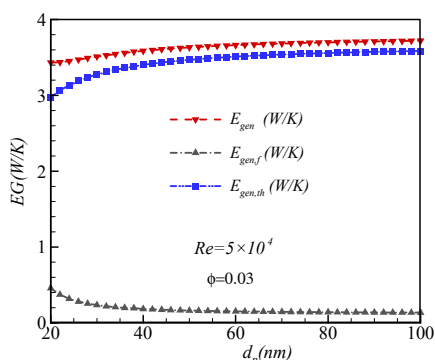
رابطه فوق بیانگر آنتروپی کل می باشد که از دو ترم آنتروپی حرارتی ($E_{gen,th}$) و آنتروپی اصطکاکی ($E_{gen,f}$) تشکیل شده است. از طرفی دیگر هر کدام از این عبارات به شرح زیر تعریف می شوند:

$$E_{gen,th} = \pi D_h^2 L q_w^2 / k_{nf} Nu_{av} T_b \quad (26)$$

$$E_{gen,f} = 32 \dot{m}^3 f L / \rho_{nf}^2 \pi^2 D_h^5 T_b \quad (27)$$

در روابط فوق (D_h) بیانگر قطر هیدرولیکی بر حسب متر، L ، طول لوله بر حسب متر و (q_w) شار حرارتی وارد بر دیواره لوله بر حسب (W/m^2) می باشد. همچنین (k_{nf}) و (ρ_{nf}) به ترتیب قابلیت هدایتی و جرم حجمی نانوسیال و (Nu_{av})، (T_b) و (f) به ترتیب عدد ناسلت متوسط، دمای بالک و ضریب اصطکاک داری می باشند.

در شکل (۸) تولید آنتروپی حرارتی، اصطکاکی و تولید آنتروپی کل بر حسب قطر ذرات نانو ترسیم گردیده است. همان طور که در شکل (۸) مشاهده می شود با افزایش قطر ذرات نانو تولید آنتروپی حرارتی افزایش می یابد. دلیل این افزایش می تواند به دلیل کاهش زیاد عدد ناسلت باتوجه به افزایش قطر نانو ذرات توجیه گردد.



شکل ۸ تولید آنتروپی حرارتی، اصطکاکی و کل بر حسب قطر نانو ذرات

بنابراین افزایش قطر نانو ذرات باتوجه به ثابت ماندن عدد رینولدز و کسر حجمی ذرات نانو اثر قابل ملاحظه ای بر ضریب اصطکاک سطحی ندارد و این پارامتر به عنوان یک پارامتر خنثی در شرایط مسئله حاضر وجود دارد.

به منظور بررسی کارایی نانوسیال باید به تجزیه و تحلیل تولید آنتروپی پرداخته شود. بر اساس مطالعات انجام شده تولید آنتروپی ناشی از انتقال حرارت و افت فشار خواهد بود. بیجان [27] و مقدمی و همکاران [28] به بررسی موضوعات فوق پرداخته اند. همچنین بایانکو و همکاران [29] انتقال حرارت جابه جایی جریان مغشوش را در یک لوله دایره ای شکل با دیواره دماتاب به صورت عددی مطالعه نمودند. آنها دریافتند اگرچه با افزایش کسر حجمی ذرات نانو عدد ناسلت افزایش می یابد اما تولید آنتروپی و توان پمپاژ نیز افزایش خواهد یافت. ساها و پائول [26] نیز انتقال حرارت و تولید آنتروپی را در یک لوله حرارتی با استفاده از نانوسیالات مختلف به صورت عددی بررسی نمودند. آنها نتیجه گرفتند که با افزایش قطر نانو ذرات تولید آنتروپی افزایش می یابد. ابراهیمی و همکاران [30] انتقال حرارت و تولید آنتروپی را در یک میکروکانال با استفاده از دو نانوسیال آب/اکسید آلومینیوم و آب/اکسید مس به صورت عددی مطالعه کردند. آنها مشاهده کردند که تولید آنتروپی کل در بازه پارامترهای مورد مطالعه اندک است.

تولید آنتروپی در مباحث انتقال حرارت و سیال شامل دو ترم تولید آنتروپی حرارتی و تولید آنتروپی اصطکاکی است که به ترتیب ناشی از انتقال حرارت و افت فشار می باشند. رابطه تولید آنتروپی به صورت زیر بیان می گردد:

$$E_{gen} = E_{gen,th} + E_{gen,f} \quad (25)$$

احتمال، با استفاده از روش حداکثر درست نمایی؛ (۲) انتخاب بهترین تابع توزیع احتمال که از آزمون تست مربع کا (Chi-square test) استفاده شده است. فرض بر این است که متغیر تصادفی وابسته X (نظیر Nu) دارای تابع چگالی احتمال پیوسته (Continuous probability density function) $f_x(x)$ باشد. این تابع توزیع احتمال شامل تعدادی پارامترهای مجهول می‌باشد. هدف محاسبه پارامترهای تابع توزیع متغیر X است که از روش حداکثر درست‌نمایی (Maximum likelihood method) استفاده شده است [31]. در چنین حالتی تابع توزیع چگالی احتمال $f_x(x)$ داده‌های انتقال حرارت به صورت زیر برای n مشاهده براساس رویه حداکثر درست‌نمایی تعریف می‌گردد. [32, 33]:

$$L(\theta) = f_x(x_1, x_2, \dots, x_n; \theta) = \prod_{i=1}^n f_x(x_i; \theta) \quad (28)$$

که در آن $L(\theta)$ را تابع درست‌نمایی و θ پارامترهای تابع توزیع احتمال است که براساس حداکثرسازی معادله فوق قابل محاسبه است. بنابراین مشخص است که به ازای هر پارامتر تابع توزیع احتمال یک معادله نوشته شده است که حل آن منجر به محاسبه پارامترهای مجهول تابع توزیع چگالی احتمال می‌گردد [51] و آن معادله به صورت زیر خواهد بود.

$$\left[\frac{\partial L(\theta)}{\partial \theta_1} = 0, \frac{\partial L(\theta)}{\partial \theta_2} = 0, \dots, \frac{\partial L(\theta)}{\partial \theta_n} = 0 \right]^T \quad (29)$$

بهترین تابع توزیع احتمال که پارامترهای آن در مرحله قبل محاسبه شده است، با استفاده از آماره مربع کای (Chi-square test) χ^2 انتخاب می‌گردد. از این رو، ابتدا داده‌های آماری را به تعداد K دسته تقسیم می‌گردد [31].

همان‌طور که در شکل (۸) مشهود است تغییرات تولید آنتروپی در قطرهای زیاد نانوذرات کمتر است که آن نیز به دلیل تغییرات اندک عدد ناسلت در قطرهای زیاد نانوذرات می‌باشد. همچنین در شکل (۸) تولید آنتروپی اصطکاکی برحسب قطر ذرات نانو ترسیم گردیده است. همان‌طور که مشاهده می‌گردد اگرچه تغییر تولید آنتروپی اصطکاکی در قطرهای کم اندکی به چشم می‌خورد، ولی در قطرهای زیاد این تغییر نامحسوس است. دلیل این موضوع می‌تواند با توجه به ثابت ماندن ضریب اصطکاک و تغییرات اندک دمای بالک در اثر افزایش قطر نانوذرات توجیه گردد. در نهایت به بحث تولید آنتروپی کل پرداخته می‌شود که مجموع تولید آنتروپی حرارتی و اصطکاکی می‌باشد. در شکل (۸) تولید آنتروپی کل برحسب قطرهای مختلف ذرات نانو ترسیم گردیده است. همان‌طور که قابل پیش‌بینی بود با عنایت به اینکه تولید آنتروپی حرارتی با افزایش قطر نانوذرات افزایش یافته است و تولید آنتروپی اصطکاکی تقریباً ثابت است، در نتیجه تولید آنتروپی کل نیز با افزایش قطر ذرات نانو افزایش می‌یابد.

هدف بعدی در این مقاله این است که خصوصیات آماری از جمله نوع تابع توزیع احتمال و پارامترهای آن برای متغیر عدد ناسلت در انتقال حرارت جابه‌جایی اجباری جریان مغشوش نسبت به تغییرات قطر نانوذرات در محدوده ۲۰ تا ۱۰۰ نانومتر به نحوی مناسب تعیین گردد. در این بخش به منظور مقایسه پارامترهای آماری در داده‌های بیشتر، از ۳ عدد رینولدز 25×10^3 ، 5×10^4 و 75×10^3 و همچنین ۳ کسر حجمی ذرات ۱، ۲ و ۳ درصد استفاده شده است. انتخاب خواص آماری متغیرهای انتقال حرارت شامل دو مرحله است: (۱) برآورد پارامترهای تابع توزیع

لوله خصوصیات آماری پارامترهای انتقال حرارت برآورد گردیده است. این خصوصیات آماری شامل میانگین، انحراف معیار، ضریب تغییرات، برجستگی و چولگی می‌باشند. برجستگی، میزان تیزی تابع توزیع احتمال داده‌های مورد بررسی را نسبت به تابع توزیع احتمال نرمال بیان می‌کند. اگر مقدار برجستگی برابر صفر گردد تابع توزیع احتمال داده‌ها مطابق با تابع توزیع احتمال نرمال می‌باشد و در صورت منفی بودن نسبت به تابع توزیع احتمال نرمال هموارتر و در صورت مثبت بودن، تابع توزیع احتمال داده‌ها نسبت به تابع نرمال تیزتر است. چولگی، میزان انحراف تابع توزیع احتمال داده‌ها را به سمت راست یا چپ نسبت به تابع نرمال مشخص می‌کند. اگر مقدار چولگی برابر ۳ گردد در چنین حالتی داده‌ها از تابع نرمال پیروی می‌کند و در صورتی که بزرگ‌تر از ۳ باشد، توزیع احتمال داده‌ها به سمت چپ متمایل است یا چولگی چپ دارد و در صورت کوچک‌تر از ۳، تابع توزیع احتمال داده‌ها به سمت راست متمایل است یا چولگی راست دارد. مطابق با آماره‌های فوق، خواص آماری داده‌های پارامتر عدد ناسلت برای مقاطع مختلف لوله در عدد رینولدز 5×10^4 و کسر حجمی ذرات نانو برابر ۳ درصد در جدول (۱) ارائه شده است.

$$K = 1 + \log_2 N \quad (30)$$

که در آن N تعداد داده‌ها و K تعداد دسته‌ها می‌باشد. مقدار آماره مربع کا به صورت زیر قابل محاسبه است:

$$\chi^2 = \frac{\sum_{i=1}^k (O_i - E_i)^2}{E_i} \quad (31)$$

در این رابطه O_i مقدار واقعی دسته i ام و E_i به صورت $F(x_2) - F(x_1)$ تعریف می‌شود که F تابع توزیع تجمعی احتمال (Cumulative probability density function) به ازای حد پایین دسته x_1 و حد بالای دسته x_2 می‌باشد. هرچه مقدار این آماره کمتر باشد داده‌ها تطابق بیشتری با تابع توزیع احتمال برآورد شده دارند.

بر اساس ۴۱ داده تولید شده از خواص انتقال حرارت در لوله مورد بررسی خصوصیات آماری پارامتر عدد ناسلت ارزیابی گردیده است. همچنین در نقاط مختلف طول لوله که در محدوده جریان در حال توسعه و جریان توسعه یافته واقع گردیده است پارامترهای چندین تابع توزیع احتمال مقایسه گردیده است.

مطابق با نتایج حاصل در مقاطع مختلف از طول

جدول ۱ خواص آماری عدد ناسلت در مقاطع مختلف در طول لوله برای عدد رینولدز 5×10^4 و کسر حجمی ذرات نانو ۳ درصد

موقعیت (متر)	۰/۰۵	۰/۱	۰/۳	۰/۶	۰/۹
میانگین	۳۵۱/۷۷	۳۲۹/۵	۳۱۶/۶۸	۳۱۳	۳۱۱/۵
انحراف معیار	۱۱/۹۰۸	۱۱/۵۵۹	۱۱/۶۰۲	۱۱/۶۹۳	۱۱/۷۲۴
ضریب تغییرات	۰/۰۳۳۸۵	۰/۰۳۵۰۸	۰/۰۳۶۶۴	۰/۰۳۷۳۶	۰/۰۳۷۶۴
برجستگی	۴/۵۰۱	۴/۴۹۸۶	۴/۵۰۱	۴/۵۰۶۶	۴/۵۰۶
چولگی	۲/۱۴۷۲	۲/۱۴۶۶	۲/۱۴۶۹	۲/۱۴۸۴	۲/۱۴۸۳

جدول ۲ خواص آماری عدد ناسلت در مقاطع مختلف در طول لوله برای عدد رینولدز 5×10^4 و کسر حجمی ذرات نانو ۱ درصد

موقعیت (متر)	۰/۰۵	۰/۱	۰/۳	۰/۶	۰/۹
میانگین	۳۵۷/۱۸	۳۳۴/۷۲	۳۲۱/۹۳	۳۱۸/۱	۳۱۶/۵۷
انحراف معیار	۵/۳۷۲	۵/۲۱۴	۵/۲۳۳	۵/۲۸۵۹	۵/۳۰۱۸
ضریب تغییرات	۰/۰۱۵۰۴	۰/۰۱۵۵۸	۰/۰۱۶۲۶	۰/۰۱۶۶۲	۰/۰۱۶۷۵
برجستگی	۳/۳۵۰۸	۳/۳۴۶۵	۳/۳۳۱۸	۳/۴۰۱۴	۳/۴۰۹۵
چولگی	۱/۹۱۳۲	۱/۹۱۲۲	۱/۹۱	۱/۹۱۸۴	۱/۹۱۸۷

جدول ۳ خواص آماری عدد ناسلت در مقاطع مختلف در طول لوله برای عدد رینولدز 5×10^4 و کسر حجمی ذرات نانو ۵ درصد

موقعیت (متر)	۰/۰۵	۰/۱	۰/۳	۰/۶	۰/۹
میانگین	۳۶۵/۶۸	۳۴۳/۰۶	۳۳۰/۳۶	۳۲۶/۶۸	۳۲۵/۱۴
انحراف معیار	۴۲/۵۹۱	۴۱/۴۹۳	۴۱/۸۰۹	۴۲/۰۵۸	۴۱/۹۹۳
ضریب تغییرات	۰/۱۱۶۴۷	۰/۱۲۰۹۵	۰/۱۲۶۵۶	۰/۱۲۸۷۴	۰/۱۲۹۱۵
برجستگی	۶/۷۵۴۸	۶/۸۴۱۱	۶/۸۸۴۶	۶/۹۲۰۳	۶/۸۸۲۸
چولگی	۲/۵۱۶۹	۲/۵۲۹۴	۲/۵۳۶۸	۲/۵۳۹۵	۲/۵۳۲۱

ناسلت در عدد رینولدز 5×10^4 و کسر حجمی ذرات نانو ۱ و ۵ درصد به ترتیب در جدول (۲ و ۳) ارائه شده است با بررسی نتایج جدول (۲ و ۳) نیز مشاهده می‌گردد که مقدار کشیدگی مثبت است و در نتیجه تابع توزیع احتمال داده‌های عدد ناسلت نسبت به تابع نرمال تیزتر است.

همچنین مشاهده می‌گردد که مقدار چولگی کوچک‌تر از عدد ۳ است. بنابراین تابع توزیع احتمال داده‌های عدد ناسلت چولگی راست دارد. تعیین تابع توزیع احتمال برای پارامتر عدد ناسلت در انتقال حرارت جریان نانو سیال با استفاده از تست مربع کای صورت پذیرفته است. برای گزینش بهترین تابع توزیع احتمال از توابع شناخته شده از جمله: نرمال، لوگ نرمال، گاما، گامبل، وایبول و فسچر استفاده شده است. این توابع توزیع احتمال دو پارامتری به شرح ذیل تعریف شده‌اند.

مطابق با نتایج ارائه شده در جدول (۱) مشخص است که ضریب تغییرات داده‌ها تا مقطع ۳۰ سانتی متری از طول لوله تغییرات زیادی دارد سپس تا ۶۰ سانتی متری این تغییرات کمتر می‌شود و در نهایت از ۶۰ سانتی متری تا ۹۰ سانتی متری این تغییرات بسیار ناچیز است و یا به عبارت دیگر جریان در داخل لوله در محدوده ۳۰ تا ۶۰ سانتی متری در حال توسعه و از ۶۰ سانتی متری به بعد توسعه یافته شده است. این موضوع با شکل (۵) نیز هم‌خوانی دارد. بر اساس داده‌های جدول (۱) مشاهده می‌شود که مقدار کشیدگی مثبت است و بر اساس توضیحات ذکر شده، تابع توزیع احتمال داده‌های عدد ناسلت نسبت به تابع نرمال تیزتر است. همین‌طور در جدول (۱) مشاهده می‌گردد مقدار چولگی کوچک‌تر از عدد ۳ می‌باشد و بر این اساس تابع توزیع احتمال داده‌های عدد ناسلت متوسط به سمت راست متمایل یا چولگی راست دارد. برای مقایسه دقیق‌تر مباحث فوق، خواص آماری عدد

تابع توزیع احتمال وایبول:

$$f(Nu) = (Nu)^{\alpha-1} \exp\left[-\left(\frac{Nu}{\beta}\right)\right] / \beta^\alpha \Gamma(\alpha) \quad (35)$$

تابع توزیع احتمال فسچر:

$$f(Nu) = \frac{\alpha}{\beta} \left(\frac{Nu}{\beta}\right)^{\alpha-1} \exp\left[-\left(\frac{Nu}{\beta}\right)^\alpha\right] \quad (32)$$

تابع توزیع احتمال نرمال:

$$f(Nu) = \frac{\alpha}{\beta} \left(\frac{\beta}{Nu}\right)^{\alpha+1} \exp\left[-\left(\frac{\beta}{Nu}\right)^\alpha\right] \quad (36)$$

در رابطه فوق Nu مقدار عدد ناسلت و α ، β و σ و μ به ترتیب پارامتر بزرگ‌نمایی، ضریب شکل، ضریب مکان و پارامتر مقیاس توابع توزیع احتمال فوق می‌باشد. براساس توابع توزیع احتمال فوق تحلیل آماری در عدد رینولدز 5×10^4 و کسر حجمی ذرات نانو ۱، ۳ و ۵ درصد انجام گردیده و به ترتیب در جدول‌های (۶-۴) آورده شده است.

$$f(Nu) = \exp\left[-\frac{1}{2}\left(\frac{Nu-\mu}{\sigma}\right)^2\right] / Nu\sigma\sqrt{2\pi} \quad (33)$$

تابع توزیع احتمال لوگ نرمال:

$$f(Nu) = \exp\left[-\frac{1}{2}\left(\frac{\ln(Nu)-\mu}{\sigma}\right)^2\right] / Nu\sigma\sqrt{2\pi} \quad (34)$$

تابع توزیع احتمال گاما:

جدول ۴ مقادیر تست مربع کای برای توابع توزیع احتمال مختلف پارامتر عدد ناسلت در مقاطع مختلف لوله دایره‌ای شکل برای عدد رینولدز 5×10^4 و کسر حجمی ذرات نانو برابر ۱ درصد

تابع توزیع احتمال	۰/۰۵	۰/۱	۰/۳	۰/۶	۰/۹
فسچر	۲/۴۴۷۵	۲/۴۵۳۴	۲/۴۸۲۸	۲/۳۳۵۶	۲/۳۳۱۸
گاما	۷/۲۳۳۲	۷/۲۴	۷/۶۷۲۸	۶/۴۸۳۶	۶/۴۷۱۲
گمبل ماکزیمم	۲/۹۷۸۹	۲/۹۸۵۶	۳/۰۳۵۱	۴/۰۳۲	۴/۰۲۴۱
گمبل مینیمم	۱۳/۳۷۴	۱۳/۳۸۴	۱۳/۴۵۴	۱۴/۷۸۲	۱۴/۷۶۲
لوگ نرمال	۷/۹۴۹	۷/۹۶۲۳	۸/۰۳۰۹	۷/۱۴۴۴	۷/۱۳۲۶
نرمال	۷/۲۶۹۵	۷/۲۷۷۶	۷/۷۱۱۷	۶/۵۱۷۶	۶/۵۰۵۶

جدول ۵ مقادیر تست مربع کای برای توابع توزیع احتمال مختلف پارامتر عدد ناسلت در مقاطع مختلف لوله دایره‌ای شکل برای عدد رینولدز 5×10^4 و کسر حجمی ذرات نانو برابر ۳ درصد

تابع توزیع احتمال	۰/۰۵	۰/۱	۰/۳	۰/۶	۰/۹
فسچر	۳/۷۴۱۶	۳/۷۵۱۵	۳/۷۶۰۵	۳/۷۵۸۳	۳/۷۵۹۲
گاما	۸/۶۱۰۵	۸/۶۱۲۴	۸/۶۰۸۱	۸/۵۹۷	۸/۵۹۵۶
گمبل ماکزیمم	۴/۴۹۳۵	۴/۴۹۸۸	۴/۴۹۹۸	۴/۴۹۲۷	۴/۴۹۲۴
گمبل مینیمم	۱۸/۳۷۴	۱۸/۳۸۱	۱۸/۳۸۲	۱۸/۳۷۳	۱۸/۳۷۲
لوگ نرمال	۹/۲۶۶	۹/۲۸۵۶	۹/۳۰۳۴	۹/۳۰۱۹	۹/۳۰۴۴
نرمال	۸/۷۳۴۵	۸/۷۴۰۸	۸/۷۴۲۱	۸/۷۳۳۷	۸/۷۰۲۳

جدول ۶ مقادیر تست مربع کای برای توابع توزیع احتمال مختلف پارامتر عدد ناسلت در مقاطع مختلف لوله دایره‌ای شکل برای عدد رینولدز 5×10^4 و کسر حجمی ذرات نانو برابر ۵ درصد

تابع توزیع احتمال	۰/۰۵	۰/۱	۰/۳	۰/۶	۰/۹
فسچر	۲/۶۳۱۵	۲/۶۳۹۳	۲/۶۴۴۱	۲/۶۴۰۸	۲/۶۴۱۷
گاما	۸/۴۴۲۵	۸/۳۹۷۷	۸/۳۴۸۱	۸/۳۰۴۸	۸/۳۰۵
گمبل ماکزیمم	۴/۶۶۸۶	۴/۶۴۷۶	۴/۶۲۶۸	۴/۶۰۱۹	۴/۶۰۳۱
گمبل مینیمم	۱۷/۳۳۵	۱۷/۳۰۱	۱۷/۲۶۶	۱۷/۲۲۳	۱۷/۲۲۵
لوگ نرمال	۸/۲۷۹۷	۸/۲۹۰۳	۸/۳۰۵۹	۸/۲۸۲۲	۸/۲۸۱۸
نرمال	۸/۸۷۸	۸/۸۴۹۹	۸/۸۲۱۱	۸/۷۸۶۳	۸/۷۸۷۹

هرچه مقدار آماره مربع کای برای یک تابع توزیع احتمال کمتر باشد، داده‌ها تطابق بیشتری با تابع توزیع احتمال برآورد شده خواهند داشت. بر این اساس داده‌های به دست آمده حرارتی برای پارامتر عدد ناسلت در جریان مغشوش سیال نانو مطابق با جدول‌های (۶-۴) تطابق بیشتری با تابع توزیع احتمال فسچر دارند. همچنین مطابق این جدول‌های همان‌طور که مشاهده می‌شود تابع گمبل ماکزیمم در مرتبه بعدی قرار دارد.

همچنین با توابع گاما، لوگ نرمال، نرمال و وایبول نیز به ترتیب اختلافی برابر با $۴/۸۶۸۸$ ، $۵/۵۲۴۴$ ، $۵/۹۹۲۹$ و $۷/۵۶۰۴$ دارد. از طرفی دیگر در بخش انتهای لوله در فاصله ۹۰ سانتی متری از ورودی نیز نتایج مشابهی مشاهده می‌گردد. در این راستا اختلاف بین تابع فسچر با گمبل ماکزیمم و مینیمم برابر $۰/۷۳۳۲$ و $۱۴/۶۱۲۸$ و همچنین با توابع گاما، لوگ نرمال، نرمال و وایبول نیز به ترتیب اختلافی برابر با $۴/۸۳۶۴$ ، $۵/۵۴۵۲$ ، $۴/۹۴۳۱$ و $۷/۵۷۴۸$ دارد.

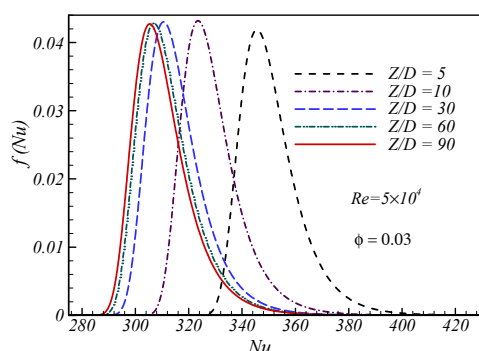
مقادیر محاسبه شده برای پارامترهای α و β در نقاط مختلف لوله در ناحیه توسعه یافته و در حال توسعه جریان در جدول (۷) درج شده است. همان‌طور که مشاهده می‌شود تغییرات پارامترهای تابع توزیع فسچر از ابتدای لوله تا فاصله ۳۰ سانتی متری زیاد است و سپس تا فاصله ۶۰ سانتی متری کمتر می‌شود این بدان مفهوم است که جریان نانوسیال در داخل لوله در شرایط مسئله حاضر بعد از فاصله ۶۰ سانتی متری به توسعه یافتگی نزدیک می‌شود. با بررسی جدول (۷) همچنین مشخص است که تغییرات در محدوده ۰/۶ تا ۰/۹ طول لوله، بسیار اندک است یعنی جریان تقریباً توسعه یافته شده است.

مطابق با تست مربع کای براساس داده‌های جداول (۶-۴) بهترین تابع توزیع احتمال برای عدد ناسلت در اکثر نقاط مورد بررسی لوله، تابع توزیع احتمال فسچر نتیجه شده است.

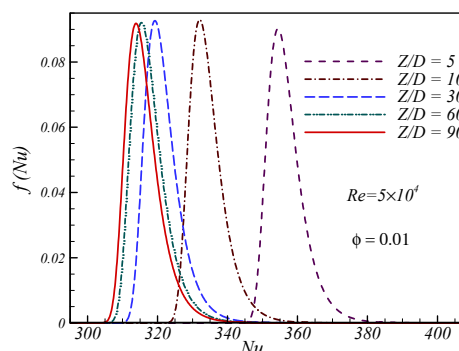
به منظور مقایسه کمی نتایج تحلیل آماری از جدول (۵) استفاده می‌گردد. مقادیر تست مربع کای برای توابع توزیع احتمال مختلف ابتدا در ناحیه ابتدای لوله در فاصله ۵ سانتی متری از ورودی جریان نانوسیال در لوله یعنی در بخش در حال توسعه جریان انجام گردیده است. بر این اساس تابع توزیع احتمال فسچر در ابتدای لوله با تابع توزیع احتمال گمبل ماکزیمم کمترین اختلاف و برابر $۰/۷۵۱۹$ و با تابع توزیع احتمال گمبل مینیمم بیشترین اختلاف و برابر

جدول ۷ پارامترهای تابع توزیع احتمال عدد ناسلت در مقاطع مختلف لوله برای عدد رینولدز 5×10^4 و کسر حجمی های مختلف ذرات نانو برابر ۱، ۳، و ۵ درصد

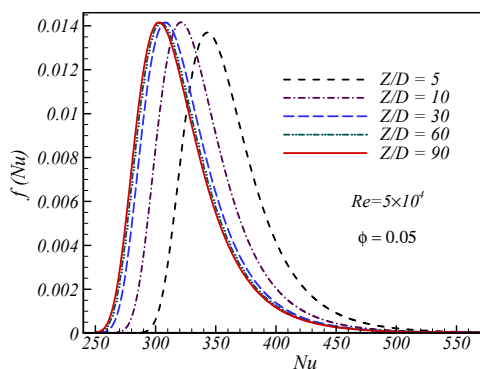
کسر حجمی ذرات نانو	موقعیت (متر)	۰/۰۵	۰/۱	۰/۳	۰/۶	۰/۹
□ = ۰/۰۱	پارامتر α	۸۶/۸۹۸	۸۳/۹۲۹	۸۰/۴۲۱	۷۸/۹۳۲	۷۸/۳۶۷
	پارامتر β	۳۵۴/۴۷	۳۳۲/۰۹	۳۱۹/۲۹	۳۱۵/۴۴	۳۱۳/۹
□ = ۰/۰۳	پارامتر α	۳۹/۳۴۳	۳۸/۰۰۲	۳۶/۳۴۳	۳۵/۷۴۸	۳۵/۴۸۹
	پارامتر β	۳۴۵/۸۲	۳۲۳/۷۲	۳۱۰/۸۱	۳۰۷/۱۷	۳۰۵/۶۵
□ = ۰/۰۵	پارامتر α	۱۲/۸۱	۱۲/۳۹۶	۱۱/۸۹۵	۱۱/۷۳۱	۱۱/۶۹۳
	پارامتر β	۳۴۵/۱۳	۳۲۳/۰۸	۳۱۰/۲۵	۳۰۶/۴۹	۳۰۴/۹۷



(ب)



(الف)



(پ)

شکل ۹ مقایسه تابع توزیع احتمال فسچر برای عدد ناسلت در مقاطع مختلف لوله در عدد رینولدز ثابت 5×10^4 و در کسر حجمی های: الف) ۱ درصد، ب) ۲ درصد و پ) ۳ درصد

به سمت راست دارند. این بدان مفهوم است که تمرکز داده‌ها بیشتر در سمت راست هر نمودار یعنی در قطرهای بزرگ نانوذرات می‌باشد و یا در بیانی دیگر در قطرهای بزرگ نانوذرات تغییرات عدد ناسلت کم می‌باشد. از طرفی دیگر همان‌طور که در شکل (۹) نیز

مطابق با پارامترهای تابع توزیع احتمال عدد ناسلت، تابع توزیع احتمال فسچر برای عدد رینولدز ثابت 5×10^4 و کسرهای حجمی ذرات نانو ۱، ۲ و ۳ درصد در شکل (۹) ترسیم گردیده است. همان‌طور که مشاهده می‌شود این نمودارها در تمامی مقاطع چولگی

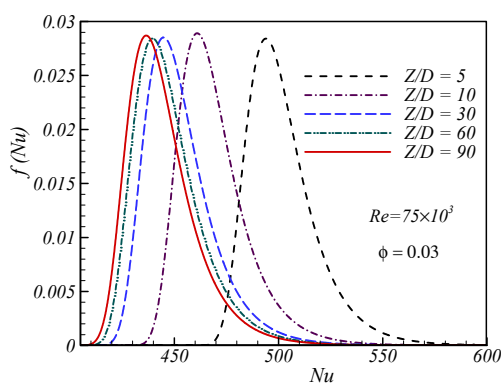
در پایان نیز به بررسی تابع توزیع احتمال رابطه پاک و چو [13] و رابطه ساها و پائول [26] می‌پردازیم و براساس نمودارهای به‌دست آمده، آنها را تحلیل خواهیم کرد. این نمودارها با ثابت فرض کردن عدد رینولدز و کسر حجمی ذرات نانو و تغییر قطر نانوذرات ترسیم گردیده است.

حال اگر تابع توزیع احتمال عدد ناسلت متوسط کار حاضر با دو رابطه فوق مقایسه گردد، مشاهده می‌شود که برای عدد ناسلت متوسط در هر سه حالت تابع توزیع احتمال فسچر نتیجه خواهد شد. این موضوع در شکل (۱۱) بیان و ترسیم گردیده است. بنابراین براساس تست مربع کای بهترین تابع توزیع احتمال عدد ناسلت، تابع چگالی احتمال فسچر نتیجه شده است که این تابع می‌تواند در جهت تحلیل‌های قابلیت اعتماد یا طرح بهینه بر مبنای قابلیت اطمینان برای توسعه یک مدل احتمالاتی انتقال حرارت در آینده مورد استفاده قرار گیرد.

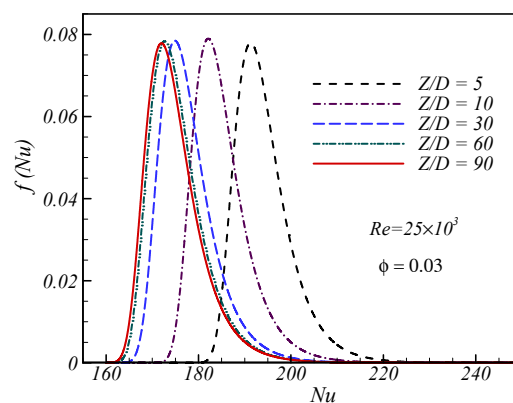
مشهود است با افزایش طول لوله نمودارها به یکدیگر نزدیک می‌شود. نزدیک شدن نمودارها به مفهوم تغییرات اندک عدد ناسلت در انتهای لوله و یا توسعه یافتگی جریان می‌باشد.

با تغییر عدد رینولدز، تابع توزیع احتمال عدد ناسلت همانند نتایج بخش‌های قبل، تابع توزیع احتمال فسچر نتیجه شده است. بدین منظور از دو عدد رینولدز 25×10^3 و 75×10^3 و کسر حجمی ۳ درصد استفاده شده است. در شکل (۱۰) تابع توزیع احتمال فسچر در نقاط مختلف لوله برای اعداد رینولدز مذکور و کسر حجمی ۳ درصد ترسیم گردیده است.

همان‌طور که مشاهده می‌شود این نمودارها نیز در تمامی مقاطع چولگی به سمت راست دارند و همچنین با افزایش طول لوله نمودارها به یکدیگر نزدیک‌تر شده و در واقع در انتهای لوله جریان توسعه یافته شده است. از طرفی دیگر همان‌طور که در شکل (۱۶) نیز مشهود است در عدد رینولدز کمتر نمودارها در انتهای لوله به یکدیگر نزدیک‌تر بوده و در واقع جریان زودتر به توسعه یافتگی رسیده است.



(ب)

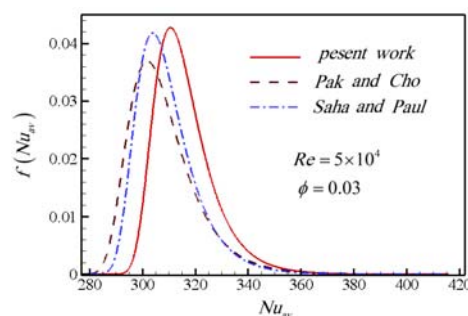


(الف)

شکل ۱۰ مقایسه تابع توزیع احتمال فسچر برای عدد ناسلت در مقاطع مختلف لوله در کسر حجمی ۳ درصد و در اعداد رینولدز: (الف) 25×10^3 و (ب) 75×10^3

جمله: نرمال، لوگ نرمال، گاما، گامبل، وایبول و فسچر استفاده شده است. پس از تحلیل داده‌های آماری مشاهده گردید که بهترین تابع توزیع احتمال برای عدد ناسلت هم در ناحیه ورودی یا در حال توسعه جریان و هم در انتهای لوله در بخش توسعه یافته جریان، تابع توزیع احتمال فسچر می‌باشد. به منظور تحلیل کمی اختلاف توابع مورد بررسی نسبت به تابع فسچر از یک عدد رینولدز و کسر حجمی ثابت استفاده می‌گردد. اختلاف تابع توزیع احتمال فسچر در عدد رینولدز 5×10^4 و کسر حجمی ذرات نانو ۳ درصد با توابع توزیع احتمال گمبل ماکزیمم، گمبل مینیمم، گاما، لوگ نرمال، نرمال و وایبول در طول ۰/۰۵ متری لوله به ترتیب برابر با ۰/۷۵۱۹، ۱۴/۶۳۲۴، ۴/۸۶۸۸، ۵/۵۲۴۴، ۴/۹۹۲۹ و ۷/۵۶۰۴ در طول ۰/۹ متری لوله به ترتیب برابر با ۰/۷۳۳۲، ۱۴/۶۱۲۸، ۴/۸۳۶۴، ۵/۵۴۵۲، ۴/۹۴۳۱ و ۷/۵۷۴۸ می‌باشد. از طرفی دیگر با تغییر عدد رینولدز نیز مشاهده گردید که در تمامی مقاطع لوله تابع توزیع احتمال عدد ناسلت تابع فسچر می‌باشد.

همچنین قیاس تحلیل آماری مطالعه حاضر با روابط و کارهای دیگران نیز نشان داد که بهترین تابع توزیع احتمال برای عدد ناسلت متوسط با توجه به تغییرات قطر نانوذرات و ثابت ماندن دو متغیر عدد رینولدز و کسر حجمی ذرات نانو، تابع توزیع احتمال فسچر می‌باشد.



شکل ۱۱ مقایسه تابع توزیع احتمال فسچر عدد ناسلت کار حاضر با روابط پاک و چو [13] و ساها و پائول [26]

خلاصه و نتیجه گیری

در این مقاله اثر قطر نانوذرات در انتقال حرارت جابه‌جایی اجباری جریان مغشوش سیال نانوی آب-اکسید آلومینیوم درون یک لوله دایره‌ای شکل تحت شار حرارتی یکنواخت در بخش بالایی و عایق در بخش پائینی لوله به صورت عددی بررسی و تحلیل آماری گردیده است. جریان در لوله مورد بررسی با توجه به قطر نانوذرات مختلف ارزیابی گردیده است. پس از بررسی نتایج مشاهده گردید که عدد ناسلت با افزایش قطر ذرات نانو کاهش می‌یابد و ضریب اصطکاک سطحی ثابت می‌ماند. از طرفی دیگر تولید آنتروپی کل با افزایش قطر نانوذرات افزایش یافته است. در تحلیل آماری به منظور تعیین تابع توزیع احتمال برای پارامتر عدد ناسلت در انتقال حرارت جریان مغشوش نانوسیال با استفاده از تست مربع کای از توابع شناخته شده از

مراجع

1. Azmi, W.H., Sharma, K.V., Sarma, P.K., Mamat, R., Anuar, Sh. and Sundar, L.S., "Numerical validation of experimental heat transfer coefficient with SiO₂ nanofluid flowing in a tube with twisted tape inserts", *Applied Thermal Engineering*, Vol. 73, pp. 296-306, (2014).
2. Eiamsa-ard, S. and Kiatkittipong, K., "Heat transfer enhancement by multiple twisted tape inserts and TiO₂/water nanofluid", *Applied Thermal Engineering*, Vol. 70, pp. 896-924, (2014).
3. Dawood, H. K., Mohammed, H.A., Che Sidik, N.A., Munisamy, K.M. and Wahid, M.A., "Forced natural and mixed-convection heat transfer and fluid flow in annulus: A review", *International Communications in Heat and Mass Transfer*, Vol. 62, pp. 45-57, (2015).

4. Sabaghan, A., Edalatpour, M., Charjouei Moghadam, M., Roohi, E. and Niazmand, H., "Nanofluid flow and heat transfer in a microchannel with longitudinal vortex generators: Two-phase numerical simulation", *Applied Thermal Engineering*, Vol. 100, pp. 179-189, (2016).
5. Shariat, M., Mokhtari Moghari, R., Akbarinia, A., Rafee, R. and Sajjadi, S.M., "Impact of nanoparticle mean diameter and the buoyancy force on laminar mixed convection nanofluid flow in an elliptic duct employing two phase mixture model", *International Communications in Heat and Mass Transfer*, Vol. 50, pp. 15-24, (2014).
6. Behzadmehr, A., Saffar-Avval, M. and Galanis, N., "Prediction of turbulent forced convection of a nanofluid in a tube with uniform heat flux using a two phase approach", *International Journal of Heat and Fluid Flow*, Vol. 28, pp. 211-219, (2007).
7. Nalwa, H.S., "Chemical Synthesis of Nanoparticles, Encyclopedia of nanoscience and nanotechnology", Vol. 6, pp. 757-759, (2004).
8. Mirmasoumi, S. and Behzadmehr, A., "Effect of nanoparticles mean diameter on mixed convection heat transfer of a nanofluid in a horizontal tube", *International Journal of Heat and Fluid Flow*, Vol. 6, pp. 706-714, (2009).
9. Akbarinia, A. and Laur, R., "Investigating the diameter of solid particles effects on a laminar nanofluid flow in a curved tube using a two phase approach", *International Journal of Heat and Fluid Flow*, Vol. 57, No.1, pp. 2739-2754, (1998).
10. Anoop, K.B., Sundararajan, T. and Das, S.K., "Effect of particle size on the convective heat transfer in nanofluid in the developing region", *International Journal of Heat and Mass Transfer*, Vol. 52, pp. 2189-2195, (2009).
11. Fani, B., Abbassi, A. and Kalteh, M., "Effect of nanoparticles size on thermal performance of nanofluid in a trapezoidal microchannel-heat-sink", *International Communications in Heat and Mass Transfer*, Vol. 45, pp. 155-161, (2013).
12. Mokhtari Moghari, R., Mujumdar, A.S., Shariat, M., Talebi, F., Sajjadi, S.M. and Akbarinia, A., "Investigation effect of nanoparticle mean diameter on mixed convection Al₂O₃-water nanofluid flow in an annulus by two phase mixture model", *International Communications in Heat and Mass Transfer*, Vol. 49, pp. 25-35, (2013).
13. Pak, B.C. and Cho, Y.I., "Hydrodynamic and heat transfer study of dispersed fluids with submicron metallic oxide particles", *Experimental Heat Transfer*, Vol. 11, pp.151-170, (1998).
14. Abbasian Arani, A.A. and Amani, J., "Experimental study on the effect of TiO₂-water nanofluid on heat transfer and pressure drop", *Experimental Thermal and Fluid Science*, Vol. 42, pp. 107-115, (2012).
15. Sajadi, A.R. and Kazemi, M.H., "Investigation of turbulent convective heat transfer and pressure drop of TiO₂/water nanofluid in circular tube", *International Communications in Heat and Mass Transfer*, Vol. 38, pp. 1474-1478, (2011).
16. Beheshti, A., Keshavarz Moraveji, M. and Hejazian, M., "Comparative Numerical Study of Nanofluid Heat Transfer through an Annular Channel", *Numerical Heat Transfer, Part A*, Vol. 67, No.1, pp. 100-117, (2015).
17. Vahidinia, F., Keshtegar, B. and Miri, M., "Statistical analysis of the effect of nanoparticles volume fraction on turbulent forced convective heat transfer coefficient of nanofluid in a circular tube", *Ciência e Natura, Santa Maria*, Vol. 37, pp. 141-152, (2015).
18. Bianco, V., Manca, O. and Nardini, S., "Numerical investigation on nanofluids turbulent convection heat transfer inside a circular tube", *International Journal of Thermal Sciences*, Vol. 50, pp. 341-349, (2011).

19. Manninen, M., Taivassalo, V. and Kallio, S., "On the mixture model for multiphase flow", *Technical Research Center of Finland, VTT Publications*, Vol. 288, pp. 9–18, (1996).
20. Schiller, L. and Naumann, A., "A drag coefficient correlation", *Z. Ver. Deutsch. Ing*, Vol. 77, pp. 318–320, (1935).
21. Launder B.E. and Spalding, D.B., "Lectures in Mathematical Models of Turbulence", *Academic Press, London, England*, (1972).
22. Chon, C.H., Kihm, K.D., Lee, S.P. and Choi, S.U.S., "Empirical correlation finding the role of temperature and particle size for nanofluid (Al_2O_3) thermal conductivity enhancement", *Appl. Phys. Lett*, Vol. 87, pp. 1–3, (2005).
23. Masoumi, N., Sohrabi, N. and Behzadmehr, A., "A new model for calculating the effective viscosity of nanofluids", *Journal of Physics D: Applied Physics*, Vol. 42, pp. 1–6, (2009).
24. Gnielinski, V., "New equations for heat and mass transfer in turbulent pipe and channel flow", *International Chemical Engineering*, Vol. 16, pp. 359–368, (1976).
25. Petukhov, B.S., "Heat Transfer and Friction in Turbulent Pipe Flow with Variable Physical Properties", *Academic Press, New York*, Vol. 6, (1970).
26. Saha, G. and Paul, M.C., "Heat transfer and entropy generation of turbulent forced convection flow of nanofluids in a heated pipe", *International Communications in Heat and Mass Transfer*, Vol. 61, pp. 26–36, (2015).
27. Bejan, A., "Entropy generation minimization", *Boca Raton: CRC Press*, (1996).
28. Moghaddami, M., Mohammadzade, A. and Alem Varzane Esfehiani S., "Second law analysis of nanofluid flow", *Energy Conversion and Management*, Vol. 52, pp. 1397–1405, (2011).
29. Bianco, V., Manca, O. and Nardini, S., "Performance analysis of turbulent convection heat transfer of Al_2O_3 water-nanofluid in circular tubes at constant wall temperature", *Energy*, Vol. 77, pp. 403–413, (2014).
30. Ebrahimi, A., Rikhtegar, F., Sabaghan, A. and Roohi, E., "Heat transfer and entropy generation in a microchannel with longitudinal vortex generators using nanofluids", *Energy*, Vol. 101, pp. 190–201, (2016).
31. Gulikers, J. and Raupach, M., "Preface. Modelling of reinforcement corrosion in concrete", *Materials and Corrosion*, Vol. 57, No. 8, pp. 603–604, (2006).
32. Gupta, S.P., "Statistical Method", *New Dehli*, (1997).
33. Rohatgi, V.K. and Ehsanes, S.A.K., "Introduction to probability and statistics", *Macmillan published Company, New York*, (2001).